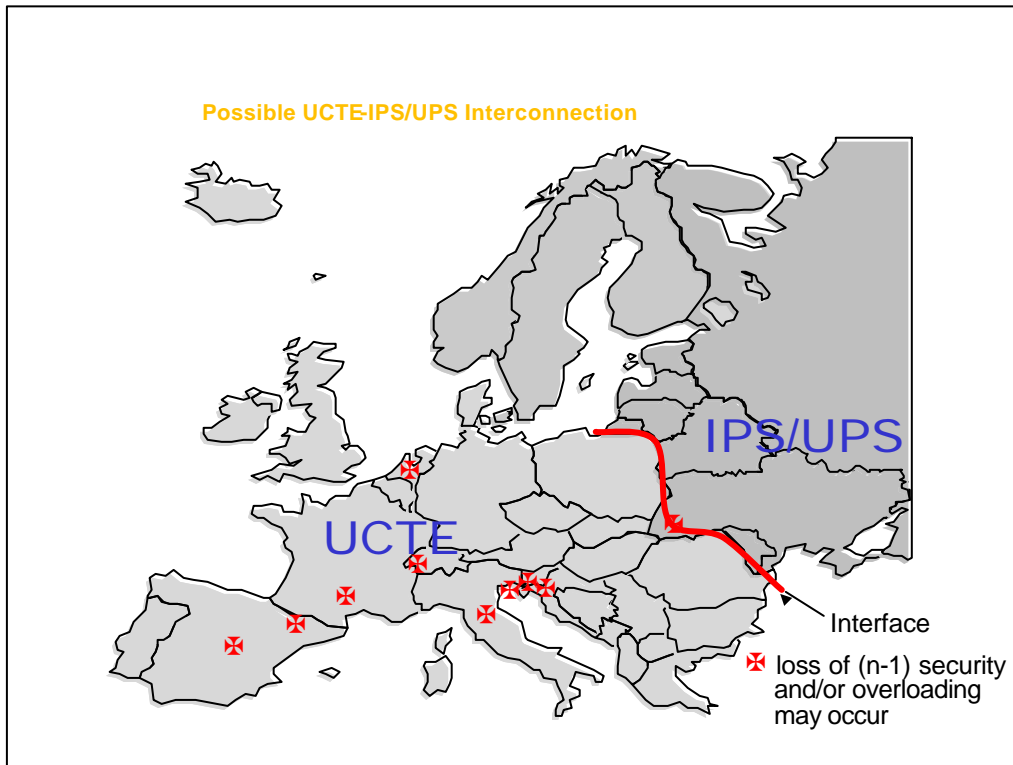
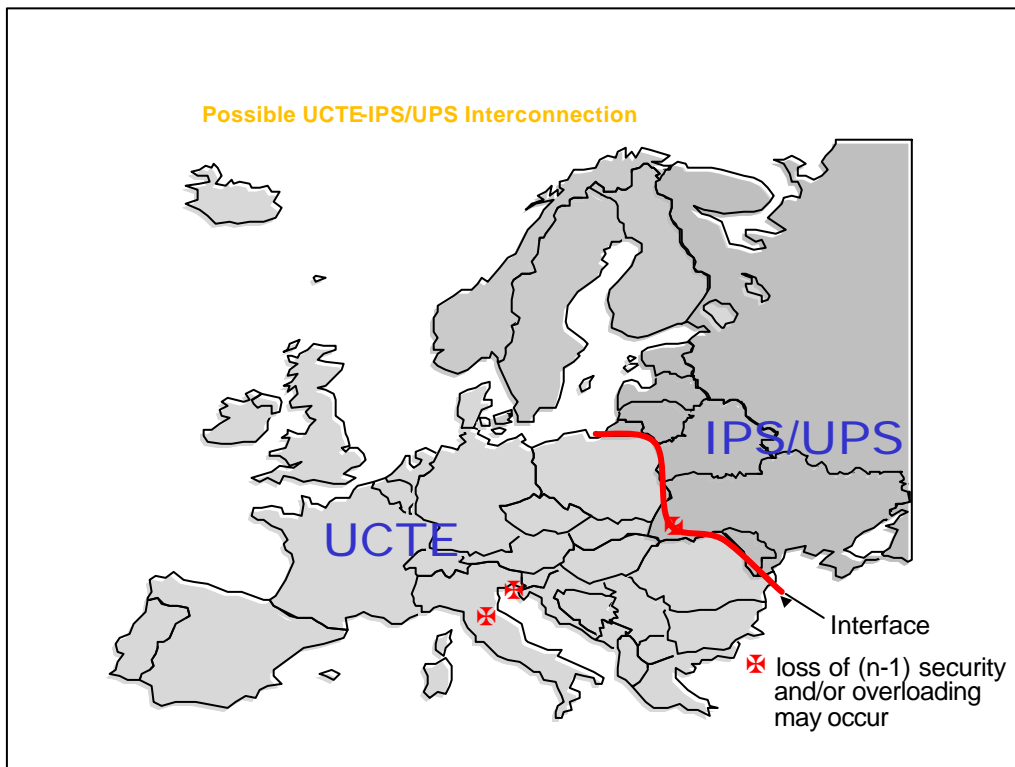


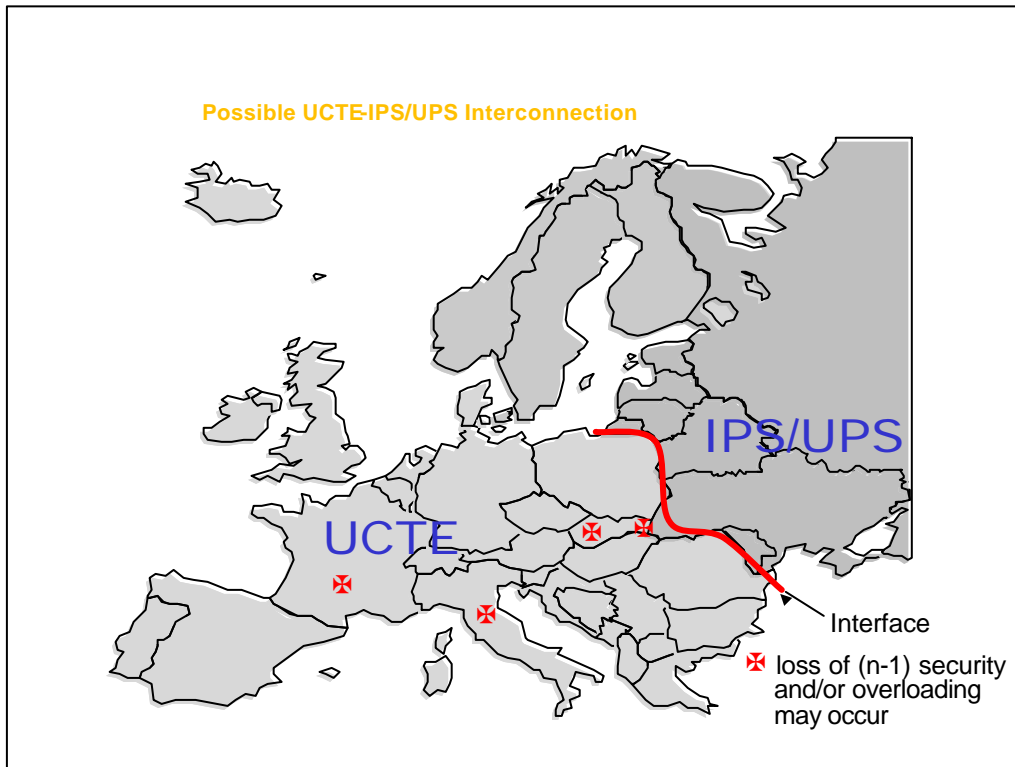
930 MW: IPNEV121 - ISLGV121, 1  
1204 MW: IPLNV111 - IRDPV111, 1  
1428 MW: IRDPV111 - LDIVAC1, 1  
1717 MW: U2BUR 2 - U2SZR 2, 1  
1717 MW: U2BUR 2 - U2SZR 2, 2  
1904 MW: IRDPV121 - ISFAV121, 1



60 MW:	I BOVM111 - I VERM111, 1
218 MW:	I GORM111 - I VERM111, 1
973 MW:	I PLNV111 - I RDPV111, 1
1141 MW:	I RDPV111 - LDI VAC1 , 1
1249 MW:	EBI ESC21 - ESABIN21, 1
1269 MW:	EBI ESC21 - FPRAGN21, 1
1486 MW:	I RDPV121 - ISFAV121, 1
1515 MW:	NMEE- A1 - NPHDI 1 , 1
1657 MW:	LDI VAC1 - LBERIC1 , 1
1676 MW:	HMELIN1 - LDI VAC1 , 1
1694 MW:	U2BUR 2 - U2SZR 2 , 1
1694 MW:	U2BUR 2 - U2SZR 2 , 2
1725 MW:	FCANTE21 - FMDUGU21, 1
1737 MW:	LBERIC1 - LPODL01 , 1
1821 MW:	SSILS 1 - SSOAZZ1 , 1
1821 MW:	FLANNE21 - FPRAGN21, 1



944 MW:	IPNEV121 - ISLGV121, 1
1214 MW:	IPLNV111 - IRDPV111, 1
1450 MW:	IRDPV111 - LDIVAC1, 1
1721 MW:	U2BUR 2 - U2SZR 2, 1
1721 MW:	U2BUR 2 - U2SZR 2, 2
1959 MW:	IRDPV121 - ISFAV121, 1



228 MW: IGORM11 - IVERM11, 1  
 823 MW: ICAOM11 - ICRWM11, 1  
 939 MW: ICAOM11 - ISROM11, 1  
 1037 MW: IBOVM11 - IVERM11, 1  
 1291 MW: QLEVI\_1 - QVDUR 12, 2  
 1403 MW: QVKAP\_1 - U1MUK 1, 1  
 1527 MW: IBOVM11 - IOSPM11, 1  
 1569 MW: FCREYS11 - FSSV. 011, 1  
 1799 MW: ILCZM11 - ISROM11, 1









## distribution factors in %

## Annex 3

	case 2 all	case 3 imp	case 4 exp	case 5 all	case 6 exp	case 7 BG	case 8 all
IPS-RO	24 %	24 %	22 %	-24 %	-22 %	44 %	42 %
IPS-PL	32 %	31 %	33 %	-32 %	-33 %	18 %	18 %
IPS-"BI"-H	30 %	31 %	30 %	-30 %	-30 %	25 %	26 %
CZ-SK	-28 %	-26 %	-30 %	28 %	30 %	-1 %	-1 %
CZ-D	27 %	29 %	28 %	-27 %	-28 %	3 %	3 %
D-NL	13 %	26 %	9 %	-13 %	-9 %	1 %	1 %
CR-SL	21 %	25 %	22 %	-21 %	-22 %	-10 %	-11 %
SL-I	18 %	23 %	17 %	-18 %	-17 %	-6 %	-6 %
PL-D	18 %	19 %	19 %	-18 %	-19 %	5 %	5 %
H-YU	1 %	1 %	0 %	-1 %	0 %	17 %	18 %
CR-BIH	-8 %	-9 %	-9 %	8 %	9 %	16 %	17 %
H-SK	14 %	12 %	17 %	-14 %	-17 %	-4 %	-4 %
D-A	-12 %	-10 %	-15 %	12 %	15 %	2 %	2 %
H-A	13 %	12 %	14 %	-13 %	-14 %	-1 %	-1 %
F-D	-14 %	-15 %	-13 %	14 %	13 %	-1 %	-1 %
BG-RO	-13 %	-14 %	-13 %	13 %	13 %	-24 %	-32 %
U-RO	0 %	0 %	-1 %	0 %	1 %	13 %	13 %
F-I	-9 %	-3 %	-12 %	9 %	12 %	2 %	2 %
CH-I	0 %	12 %	-5 %	0 %	5 %	4 %	4 %
H-CR	10 %	12 %	8 %	-10 %	-8 %	10 %	11 %
E-F	-11 %	-32 %	0 %	11 %	0 %	0 %	0 %
F-CH	-11 %	-10 %	-11 %	11 %	11 %	0 %	0 %
SK-"BI"	-9 %	-8 %	-10 %	9 %	10 %	3 %	3 %
B-NL	-10 %	-13 %	-9 %	10 %	9 %	-1 %	-1 %
CH-D	-9 %	-16 %	-6 %	9 %	6 %	-3 %	-3 %
YU-AL	-2 %	-1 %	-3 %	2 %	3 %	6 %	9 %
YU-BIH	9 %	9 %	9 %	-9 %	-9 %	-16 %	-16 %
F-B	-7 %	-4 %	-9 %	7 %	9 %	-1 %	-1 %
PL-SK	6 %	6 %	5 %	-6 %	-5 %	8 %	8 %
BG-YU	6 %	7 %	6 %	-6 %	-6 %	-28 %	-5 %
AL-GR	-2 %	-2 %	-3 %	2 %	3 %	6 %	6 %
RO-YU	5 %	5 %	5 %	-5 %	-5 %	0 %	3 %
BG-GR	2 %	4 %	2 %	-2 %	-2 %	-5 %	5 %
YU-MKD	-1 %	0 %	-1 %	1 %	1 %	4 %	5 %
SL-A	4 %	2 %	5 %	-4 %	-5 %	-5 %	-5 %
H-U	-5 %	-6 %	-5 %	5 %	5 %	-2 %	-3 %
CR-YU	-5 %	-6 %	-5 %	5 %	5 %	5 %	5 %
H-RO	-4 %	-4 %	-4 %	4 %	4 %	5 %	4 %
CZ-PL	-4 %	-6 %	-4 %	4 %	4 %	-5 %	-6 %
BG-MKD	2 %	4 %	2 %	-2 %	-2 %	-5 %	4 %
CH-A	-4 %	-6 %	-3 %	4 %	3 %	-1 %	-1 %
CZ-A	1 %	3 %	-1 %	-1 %	1 %	4 %	4 %
E-P	2 %	0 %	0 %	-2 %	0 %	0 %	0 %
GR-MKD	-1 %	-3 %	-1 %	1 %	1 %	1 %	-7 %
A-I	0 %	0 %	0 %	0 %	0 %	0 %	0 %

Case 2: Reducing of the generation in all UCTE countries - input from IPS/UPS

Case 3: Reducing of the generation only in the UCTE import countries - input from IPS/UPS

Case 4: Reducing of the generation only in the UCTE export countries - input from IPS/UPS

Case 5: Increasing of generation in all UCTE countries - consumption in IPS/UPS

Case 6: Increasing of generation only in the UCTE export countries - consumption in IPS/UPS

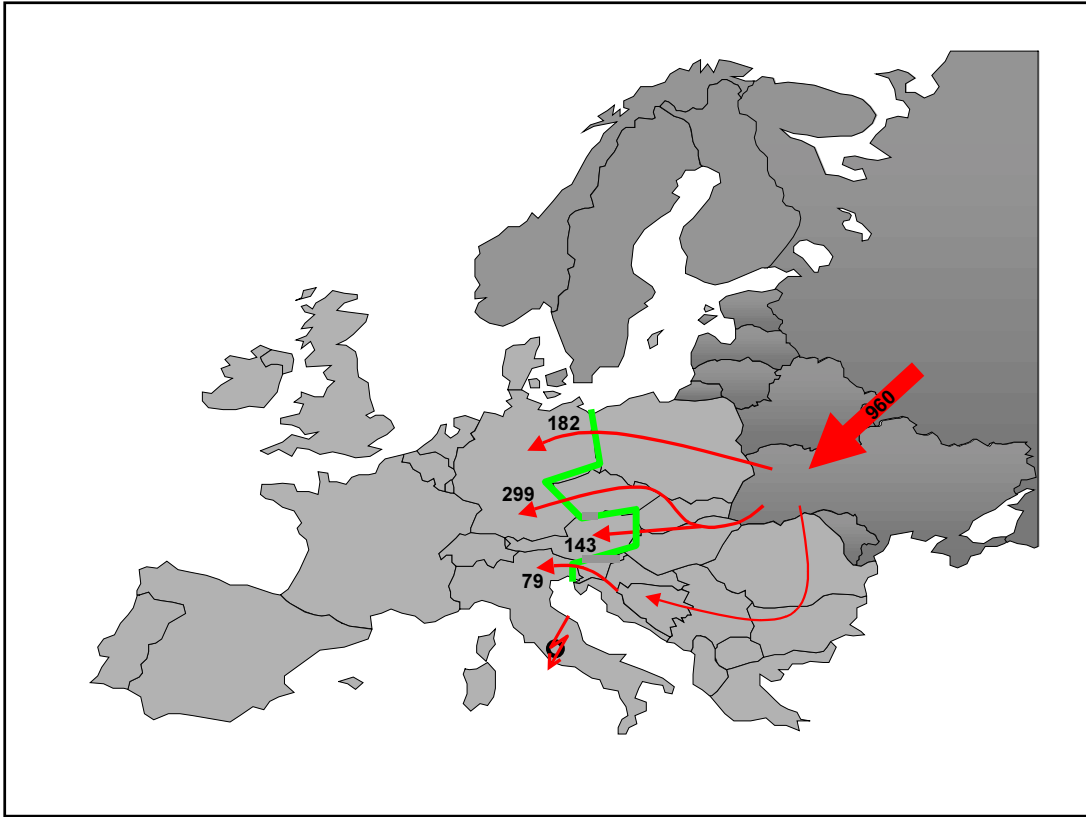
Case 7: Reducing of the generation in KOZLODUJ - input from IPS/UPS

Case 8: Reducing of the generation in all UCTE PART 2 countries - input from IPS/UPS



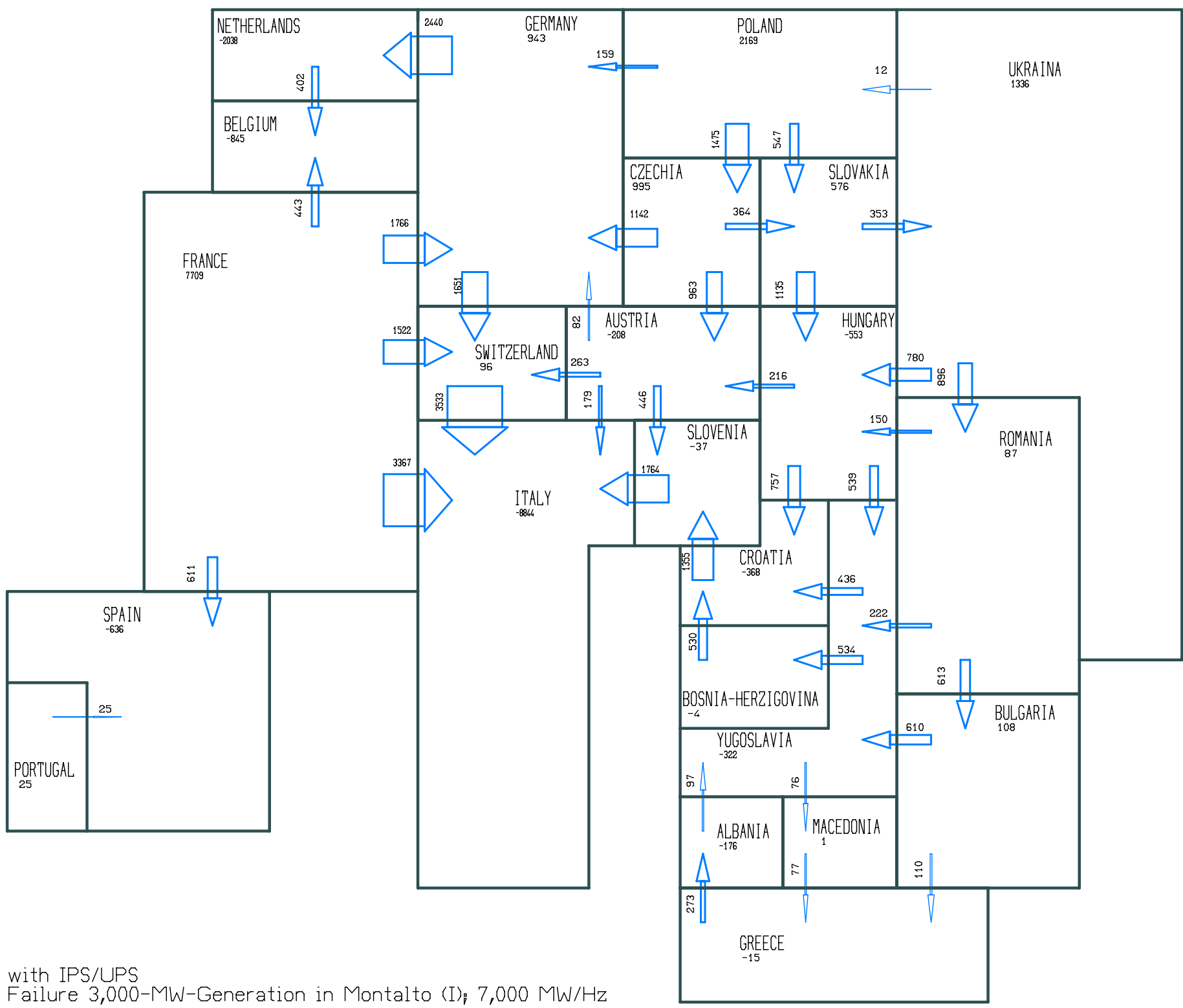


## Annex 6a



Primary control flow from IPS/UPS after outage of generation in Tabardierie (F) – difference load-flow

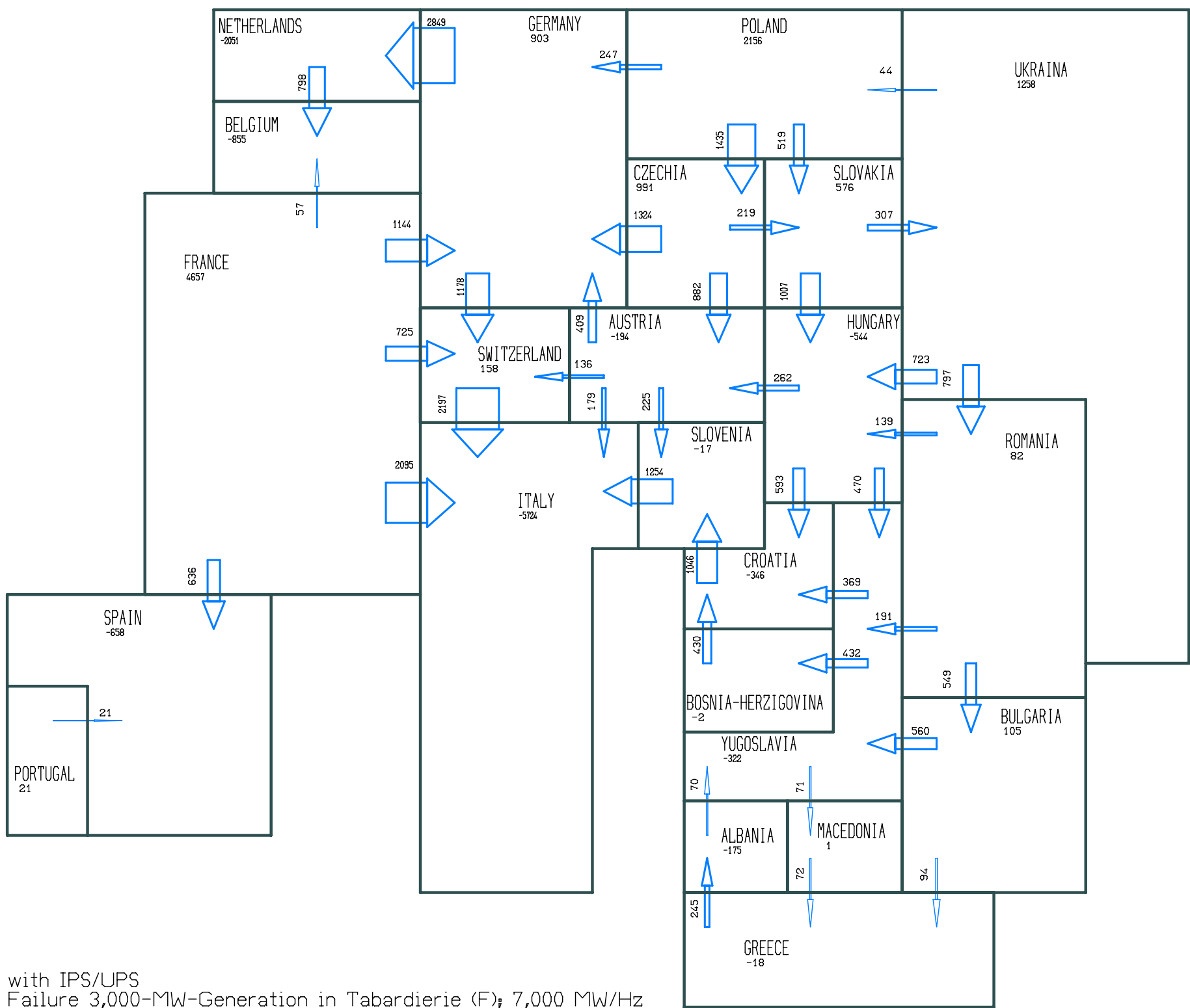




with IPS/UPS  
 Failure 3,000-MW-Generation in Montalto (I); 7,000 MW/Hz







with IPS/UPS  
 Failure 3,000-MW-Generation in Tabardierie (F); 7,000 MW/Hz